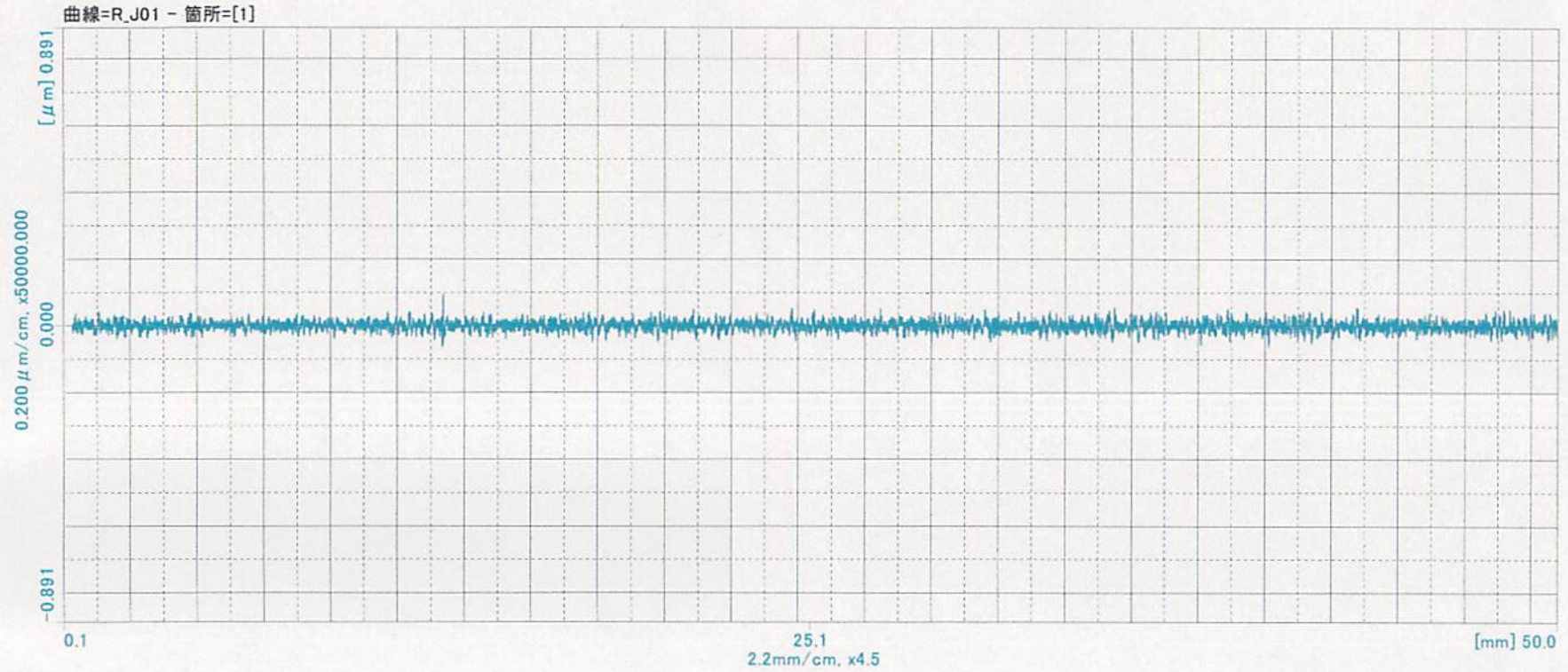


ハラー-タ結果<<曲線=R.J01 - 箇所=[1]>>

ハラー-タ名称	結果	判定	総合結果	公差設定	ハラー-タ名称	結果	判定	総合結果	公差設定	ハラー-タ名称	結果	判定	総合結果	公差設定	ハラー-タ名称	結果	判定	総合結果	公差設定
Rs200	0.011 μm	×	(16%)	0/200_200/200	0.000_0.000 μm	>Rs200[52]	0.003 μm	×		>Rs200[104]	0.009 μm	×			>Rs200[156]	0.010 μm	×		
>Rs200[1]	0.009 μm	×			>Rs200[53]	0.010 μm	×			>Rs200[105]	0.011 μm	×			>Rs200[157]	0.013 μm	×		
>Rs200[2]	0.010 μm	×			>Rs200[54]	0.010 μm	×			>Rs200[106]	0.009 μm	×			>Rs200[158]	0.009 μm	×		
>Rs200[3]	0.009 μm	×			>Rs200[55]	0.011 μm	×			>Rs200[107]	0.012 μm	×			>Rs200[159]	0.012 μm	×		
>Rs200[4]	0.014 μm	×			>Rs200[56]	0.016 μm	×			>Rs200[108]	0.012 μm	×			>Rs200[160]	0.016 μm	×		
>Rs200[5]	0.008 μm	×			>Rs200[57]	0.007 μm	×			>Rs200[109]	0.009 μm	×			>Rs200[161]	0.011 μm	×		
>Rs200[6]	0.012 μm	×			>Rs200[58]	0.009 μm	×			>Rs200[110]	0.011 μm	×			>Rs200[162]	0.010 μm	×		
>Rs200[7]	0.011 μm	×			>Rs200[59]	0.003 μm	×			>Rs200[111]	0.015 μm	×			>Rs200[163]	0.014 μm	×		
>Rs200[8]	0.010 μm	×			>Rs200[60]	0.009 μm	×			>Rs200[112]	0.009 μm	×			>Rs200[164]	0.015 μm	×		
>Rs200[9]	0.003 μm	×			>Rs200[61]	0.011 μm	×			>Rs200[113]	0.003 μm	×			>Rs200[165]	0.019 μm	×		
>Rs200[10]	0.011 μm	×			>Rs200[62]	0.003 μm	×			>Rs200[114]	0.003 μm	×			>Rs200[166]	0.017 μm	×		
>Rs200[11]	0.003 μm	×			>Rs200[63]	0.010 μm	×			>Rs200[115]	0.012 μm	×			>Rs200[167]	0.011 μm	×		
>Rs200[12]	0.009 μm	×			>Rs200[64]	0.012 μm	×			>Rs200[116]	0.017 μm	×			>Rs200[168]	0.012 μm	×		
>Rs200[13]	0.009 μm	×			>Rs200[65]	0.011 μm	×			>Rs200[117]	0.010 μm	×			>Rs200[169]	0.012 μm	×		
>Rs200[14]	0.003 μm	×			>Rs200[66]	0.007 μm	×			>Rs200[118]	0.011 μm	×			>Rs200[170]	0.007 μm	×		
>Rs200[15]	0.010 μm	×			>Rs200[67]	0.013 μm	×			>Rs200[119]	0.003 μm	×			>Rs200[171]	0.009 μm	×		
>Rs200[16]	0.014 μm	×			>Rs200[68]	0.009 μm	×			>Rs200[120]	0.013 μm	×			>Rs200[172]	0.010 μm	×		
>Rs200[17]	0.010 μm	×			>Rs200[69]	0.014 μm	×			>Rs200[121]	0.009 μm	×			>Rs200[173]	0.010 μm	×		
>Rs200[18]	0.010 μm	×			>Rs200[70]	0.013 μm	×			>Rs200[122]	0.014 μm	×			>Rs200[174]	0.010 μm	×		
>Rs200[19]	0.007 μm	×			>Rs200[71]	0.019 μm	×			>Rs200[123]	0.014 μm	×			>Rs200[175]	0.009 μm	×		
>Rs200[20]	0.003 μm	×			>Rs200[72]	0.011 μm	×			>Rs200[124]	0.012 μm	×			>Rs200[176]	0.010 μm	×		
>Rs200[21]	0.008 μm	×			>Rs200[73]	0.003 μm	×			>Rs200[125]	0.007 μm	×			>Rs200[177]	0.012 μm	×		
>Rs200[22]	0.012 μm	×			>Rs200[74]	0.011 μm	×			>Rs200[126]	0.009 μm	×			>Rs200[178]	0.009 μm	×		
>Rs200[23]	0.007 μm	×			>Rs200[75]	0.011 μm	×			>Rs200[127]	0.013 μm	×			>Rs200[179]	0.003 μm	×		
>Rs200[24]	0.012 μm	×			>Rs200[76]	0.003 μm	×			>Rs200[128]	0.008 μm	×			>Rs200[180]	0.013 μm	×		
>Rs200[25]	0.008 μm	×			>Rs200[77]	0.003 μm	×			>Rs200[129]	0.010 μm	×			>Rs200[181]	0.011 μm	×		
>Rs200[26]	0.010 μm	×			>Rs200[78]	0.016 μm	×			>Rs200[130]	0.015 μm	×			>Rs200[182]	0.003 μm	×		
>Rs200[27]	0.010 μm	×			>Rs200[79]	0.015 μm	×			>Rs200[131]	0.010 μm	×			>Rs200[183]	0.012 μm	×		
>Rs200[28]	0.003 μm	×			>Rs200[80]	0.012 μm	×			>Rs200[132]	0.012 μm	×			>Rs200[184]	0.010 μm	×		
>Rs200[29]	0.007 μm	×			>Rs200[81]	0.009 μm	×			>Rs200[133]	0.011 μm	×			>Rs200[185]	0.003 μm	×		
>Rs200[30]	0.010 μm	×			>Rs200[82]	0.003 μm	×			>Rs200[134]	0.011 μm	×			>Rs200[186]	0.009 μm	×		
>Rs200[31]	0.013 μm	×			>Rs200[83]	0.010 μm	×			>Rs200[135]	0.003 μm	×			>Rs200[187]	0.003 μm	×		
>Rs200[32]	0.007 μm	×			>Rs200[84]	0.012 μm	×			>Rs200[136]	0.013 μm	×			>Rs200[188]	0.003 μm	×		
>Rs200[33]	0.019 μm	×			>Rs200[85]	0.003 μm	×			>Rs200[137]	0.013 μm	×			>Rs200[189]	0.012 μm	×		
>Rs200[34]	0.003 μm	×			>Rs200[86]	0.013 μm	×			>Rs200[138]	0.011 μm	×			>Rs200[190]	0.018 μm	×		
>Rs200[35]	0.011 μm	×			>Rs200[87]	0.012 μm	×			>Rs200[139]	0.022 μm	×			>Rs200[191]	0.018 μm	×		
>Rs200[36]	0.007 μm	×			>Rs200[88]	0.014 μm	×			>Rs200[140]	0.008 μm	×			>Rs200[192]	0.010 μm	×		
>Rs200[37]	0.009 μm	×			>Rs200[89]	0.009 μm	×			>Rs200[141]	0.012 μm	×			>Rs200[193]	0.014 μm	×		
>Rs200[38]	0.009 μm	×			>Rs200[90]	0.009 μm	×			>Rs200[142]	0.014 μm	×			>Rs200[194]	0.013 μm	×		
>Rs200[39]	0.007 μm	×			>Rs200[91]	0.011 μm	×			>Rs200[143]	0.018 μm	×			>Rs200[195]	0.017 μm	×		
>Rs200[40]	0.010 μm	×			>Rs200[92]	0.011 μm	×			>Rs200[144]	0.010 μm	×			>Rs200[196]	0.003 μm	×		
>Rs200[41]	0.008 μm	×			>Rs200[93]	0.003 μm	×			>Rs200[145]	0.016 μm	×			>Rs200[197]	0.015 μm	×		
>Rs200[42]	0.008 μm	×			>Rs200[94]	0.014 μm	×			>Rs200[146]	0.013 μm	×			>Rs200[198]	0.013 μm	×		
>Rs200[43]	0.013 μm	×			>Rs200[95]	0.009 μm	×			>Rs200[147]	0.007 μm	×			>Rs200[199]	0.011 μm	×		
>Rs200[44]	0.011 μm	×			>Rs200[96]	0.013 μm	×			>Rs200[148]	0.010 μm	×			>Rs200[200]	0.011 μm	×		
>Rs200[45]	0.015 μm	×			>Rs200[97]	0.010 μm	×			>>区間数	200								
>Rs200[46]	0.010 μm	×			>Rs200[98]	0.010 μm	×			>>平均	0.011 μm								
>Rs200[47]	0.011 μm	×			>Rs200[99]	0.015 μm	×			>>最大	0.022 μm								
>Rs200[48]	0.013 μm	×			>Rs200[100]	0.003 μm	×			>>最小	0.005 μm								
>Rs200[49]	0.011 μm	×			>Rs200[101]	0.009 μm	×			>>標準偏差	0.003 μm								
>Rs200[50]	0.019 μm	×			>Rs200[102]	0.010 μm	×			Rs200	0.061 μm	×	(16%)	0/200_200/200	0.000_0.000 μm				
>Rs200[51]	0.007 μm	×			>Rs200[103]	0.011 μm	×												

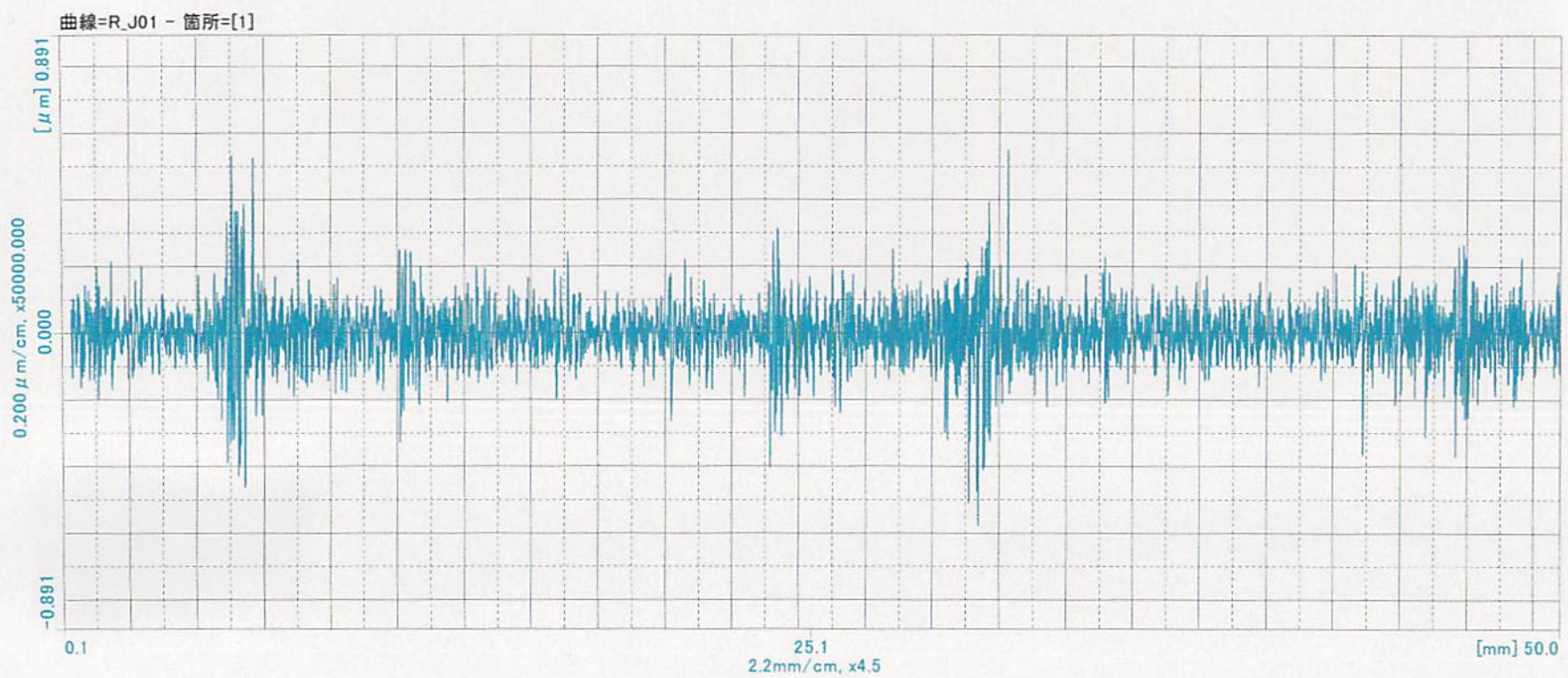
パラメータ結果<<曲線=R_J01 - 箇所=[1]>>

パラメータ名	結果	判定	組合結果	公差設定	パラメータ名	結果	判定	組合結果	公差設定	パラメータ名	結果	判定	組合結果	公差設定	パラメータ名	結果	判定	組合結果	公差設定	
Ra200	0.057 μm	×	(16%)	0/200_200/200	0.000_0.000 μm	>Ra200[132]	0.059 μm	×		>Ra200[104]	0.091 μm	×			>Ra200[156]	0.042 μm	×			
>Ra200[1]	0.050 μm	×			>Ra200[133]	0.053 μm	×			>Ra200[105]	0.046 μm	×			>Ra200[157]	0.060 μm	×			
>Ra200[2]	0.058 μm	×			>Ra200[134]	0.062 μm	×			>Ra200[106]	0.039 μm	×			>Ra200[158]	0.050 μm	×			
>Ra200[3]	0.047 μm	×			>Ra200[135]	0.052 μm	×			>Ra200[107]	0.042 μm	×			>Ra200[159]	0.032 μm	×			
>Ra200[4]	0.077 μm	×			>Ra200[136]	0.073 μm	×			>Ra200[108]	0.045 μm	×			>Ra200[160]	0.057 μm	×			
>Ra200[5]	0.044 μm	×			>Ra200[137]	0.042 μm	×			>Ra200[109]	0.050 μm	×			>Ra200[161]	0.034 μm	×			
>Ra200[6]	0.059 μm	×			>Ra200[138]	0.033 μm	×			>Ra200[110]	0.053 μm	×			>Ra200[162]	0.042 μm	×			
>Ra200[7]	0.035 μm	×			>Ra200[139]	0.050 μm	×			>Ra200[111]	0.057 μm	×			>Ra200[163]	0.040 μm	×			
>Ra200[8]	0.033 μm	×			>Ra200[140]	0.040 μm	×			>Ra200[112]	0.051 μm	×			>Ra200[164]	0.042 μm	×			
>Ra200[9]	0.054 μm	×			>Ra200[141]	0.050 μm	×			>Ra200[113]	0.051 μm	×			>Ra200[165]	0.025 μm	×			
>Ra200[10]	0.045 μm	×			>Ra200[142]	0.054 μm	×			>Ra200[114]	0.042 μm	×			>Ra200[166]	0.041 μm	×			
>Ra200[11]	0.033 μm	×			>Ra200[143]	0.041 μm	×			>Ra200[115]	0.053 μm	×			>Ra200[167]	0.056 μm	×			
>Ra200[12]	0.039 μm	×			>Ra200[144]	0.041 μm	×			>Ra200[116]	0.062 μm	×			>Ra200[168]	0.045 μm	×			
>Ra200[13]	0.039 μm	×			>Ra200[145]	0.071 μm	×			>Ra200[117]	0.039 μm	×			>Ra200[169]	0.041 μm	×			
>Ra200[14]	0.039 μm	×			>Ra200[146]	0.034 μm	×			>Ra200[118]	0.077 μm	×			>Ra200[170]	0.030 μm	×			
>Ra200[15]	0.032 μm	×			>Ra200[147]	0.051 μm	×			>Ra200[119]	0.053 μm	×			>Ra200[171]	0.054 μm	×			
>Ra200[16]	0.035 μm	×			>Ra200[148]	0.067 μm	×			>Ra200[120]	0.053 μm	×			>Ra200[172]	0.079 μm	×			
>Ra200[17]	0.053 μm	×			>Ra200[149]	0.033 μm	×			>Ra200[121]	0.111 μm	×			>Ra200[173]	0.035 μm	×			
>Ra200[18]	0.037 μm	×			>Ra200[150]	0.020 μm	×			>Ra200[122]	0.202 μm	×			>Ra200[174]	0.053 μm	×			
>Ra200[19]	0.054 μm	×			>Ra200[151]	0.039 μm	×			>Ra200[123]	0.100 μm	×			>Ra200[175]	0.050 μm	×			
>Ra200[20]	0.067 μm	×			>Ra200[152]	0.032 μm	×			>Ra200[124]	0.069 μm	×			>Ra200[176]	0.091 μm	×			
>Ra200[21]	0.115 μm	×			>Ra200[153]	0.041 μm	×			>Ra200[125]	0.098 μm	×			>Ra200[177]	0.023 μm	×			
>Ra200[22]	0.238 μm	×			>Ra200[154]	0.040 μm	×			>Ra200[126]	0.054 μm	×			>Ra200[178]	0.040 μm	×			
>Ra200[23]	0.239 μm	×			>Ra200[155]	0.044 μm	×			>Ra200[127]	0.043 μm	×			>Ra200[179]	0.067 μm	×			
>Ra200[24]	0.020 μm	×			>Ra200[156]	0.027 μm	×			>Ra200[128]	0.053 μm	×			>Ra200[180]	0.044 μm	×			
>Ra200[25]	0.028 μm	×			>Ra200[157]	0.046 μm	×			>Ra200[129]	0.082 μm	×			>Ra200[181]	0.031 μm	×			
>Ra200[26]	0.079 μm	×			>Ra200[158]	0.047 μm	×			>Ra200[130]	0.070 μm	×			>Ra200[182]	0.060 μm	×			
>Ra200[27]	0.050 μm	×			>Ra200[159]	0.038 μm	×			>Ra200[131]	0.049 μm	×			>Ra200[183]	0.039 μm	×			
>Ra200[28]	0.052 μm	×			>Ra200[160]	0.053 μm	×			>Ra200[132]	0.047 μm	×			>Ra200[184]	0.054 μm	×			
>Ra200[29]	0.043 μm	×			>Ra200[161]	0.049 μm	×			>Ra200[133]	0.043 μm	×			>Ra200[185]	0.101 μm	×			
>Ra200[30]	0.060 μm	×			>Ra200[162]	0.059 μm	×			>Ra200[134]	0.059 μm	×			>Ra200[186]	0.139 μm	×			
>Ra200[31]	0.050 μm	×			>Ra200[163]	0.053 μm	×			>Ra200[135]	0.047 μm	×			>Ra200[187]	0.071 μm	×			
>Ra200[32]	0.053 μm	×			>Ra200[164]	0.032 μm	×			>Ra200[136]	0.046 μm	×			>Ra200[188]	0.050 μm	×			
>Ra200[33]	0.047 μm	×			>Ra200[165]	0.054 μm	×			>Ra200[137]	0.033 μm	×			>Ra200[189]	0.050 μm	×			
>Ra200[34]	0.047 μm	×			>Ra200[166]	0.042 μm	×			>Ra200[138]	0.102 μm	×			>Ra200[190]	0.058 μm	×			
>Ra200[35]	0.053 μm	×			>Ra200[167]	0.043 μm	×			>Ra200[139]	0.054 μm	×			>Ra200[191]	0.040 μm	×			
>Ra200[36]	0.051 μm	×			>Ra200[168]	0.029 μm	×			>Ra200[140]	0.047 μm	×			>Ra200[192]	0.059 μm	×			
>Ra200[37]	0.054 μm	×			>Ra200[169]	0.049 μm	×			>Ra200[141]	0.043 μm	×			>Ra200[193]	0.069 μm	×			
>Ra200[38]	0.042 μm	×			>Ra200[170]	0.044 μm	×			>Ra200[142]	0.047 μm	×			>Ra200[194]	0.041 μm	×			
>Ra200[39]	0.042 μm	×			>Ra200[171]	0.033 μm	×			>Ra200[143]	0.027 μm	×			>Ra200[195]	0.047 μm	×			
>Ra200[40]	0.039 μm	×			>Ra200[172]	0.032 μm	×			>Ra200[144]	0.051 μm	×			>Ra200[196]	0.044 μm	×			
>Ra200[41]	0.072 μm	×			>Ra200[173]	0.053 μm	×			>Ra200[145]	0.059 μm	×			>Ra200[197]	0.039 μm	×			
>Ra200[42]	0.056 μm	×			>Ra200[174]	0.159 μm	×			>Ra200[146]	0.043 μm	×			>Ra200[198]	0.052 μm	×			
>Ra200[43]	0.028 μm	×			>Ra200[175]	0.100 μm	×			>Ra200[147]	0.052 μm	×			>Ra200[199]	0.065 μm	×			
>Ra200[44]	0.094 μm	×			>Ra200[176]	0.072 μm	×			>Ra200[148]	0.056 μm	×			>Ra200[200]	0.032 μm	×			
>Ra200[45]	0.033 μm	×			>Ra200[177]	0.059 μm	×			>Ra200[149]	0.039 μm	×			>>区間数	200				
>Ra200[46]	0.053 μm	×			>Ra200[178]	0.053 μm	×			>Ra200[150]	0.050 μm	×			>>平均	0.057 μm				
>Ra200[47]	0.070 μm	×			>Ra200[179]	0.051 μm	×			>Ra200[151]	0.058 μm	×			>>最大	0.219 μm				
>Ra200[48]	0.041 μm	×			>Ra200[180]	0.045 μm	×			>Ra200[152]	0.044 μm	×			>>最小	0.020 μm				
>Ra200[49]	0.049 μm	×			>Ra200[181]	0.044 μm	×			>Ra200[153]	0.042 μm	×			>>標準偏差	0.029 μm				
>Ra200[50]	0.051 μm	×			>Ra200[182]	0.050 μm	×			>Ra200[154]	0.043 μm	×			Rz200	0.300 μm	×	(16%)	0/200_200/200	0.000_0.000 μm
>Ra200[51]	0.042 μm	×			>Ra200[183]	0.075 μm	×			>Ra200[155]	0.044 μm	×								



測定条件
 測定長さ 50.525 mm レンジ 800.0 μm
 速度 1.0 mm/s R面自動測定 Off
 オーバレンジ 中断 ピッチ 1.0 μm
 測定点数 50525

評価条件<<曲線=R_J01 - 箇所=[1]>>
 規格 JIS2001
 評価曲線種別 R_J01
 基準長さ 0.25 mm
 区間数 200
 λ_c 0.25 mm
 λ_s 0.008 mm
 フィルタ種別 Gaussian
 評価長さ 50.0 mm
 助走 0.4 mm
 後走 0.125 mm
 スムース接続 Off



測定条件
 測定長さ 50.525 mm レンジ 800.0 μm
 速度 1.0 mm/s R面自動測定 Off
 オーバレンジ 中断 ピッチ 1.0 μm
 測定点数 50525

評価条件<<曲線=R_J01 - 箇所=[1]>>
 規格 JIS2001
 評価曲線種別 R_J01
 基準長さ 0.25 mm
 区間数 200
 λ_c 0.25 mm
 λ_s 0.008 mm
 フィルタ種別 Gaussian
 評価長さ 50.0 mm
 助走 0.4 mm
 後走 0.125 mm
 スムース接続 Off